

УДК 537.13.537.734

© 1990

**О СТЕПЕНИ ЛОКАЛИЗАЦИИ МАГНИТНЫХ МОМЕНТОВ  
И НЕГЕЙЗЕНБЕРГОВСКОМ ХАРАКТЕРЕ  
ОБМЕННЫХ ВЗАИМОДЕЙСТВИЙ  
В МЕТАЛЛАХ И СПЛАВАХ**

*C. A. Туржевский, A. I. Лихтенштейн, M. I. Каунельсон*

Проведены зонные расчеты зависимости величины локального магнитного момента в ОЦК Fe и ГЦК Ni, а также примесей Mn в Fe и Ni от угла его поворота относительно вектора намагниченности ферромагнитного кристалла. Использовался метод ЛМТО-функций Грина для решения примесной задачи о неколлинеарной магнитной примеси. На основании точного расчета производной энергии по углу отклонения магнитного момента «примеси» анализируется характер обменных взаимодействий в переходных металлах и их разбавленных сплавах. Вопрос о степени локализации магнитного момента и возможности существования двух различных значений момента в ферромагнитной и антиферромагнитной конфигурациях рассматривается в рамках модели Андерсона в магнитной матрице.

Одной из сложных проблем теории магнетизма переходных металлов и их сплавов является исследование степени локализации магнитных моментов различных атомов и характера обменных взаимодействий коллективизированных электронов. Например, известно, что термодинамика ферромагнитного железа хорошо описывается в классической модели Гайзенберга с локализованными магнитными моментами [1]. Тот факт, что зонный ферромагнетик обладает свойствами, присущими системам с локальными спиновыми моментами и гайзенберговской обменной связью (полная энергия  $E$  как функция угла поворота момента  $\theta$  пропорциональна  $\cos \theta$ , а не, скажем,  $\cos \theta/2$ , как в модели двойного обмена [2]), нетривиален. Согласно спин-флуктуационной теории [3], он может быть связан с большим вкладом спиновых флуктуаций в высокотемпературные свойства магнитных металлов. Эти локальные флуктуации представляют собой повороты спиновых моментов на данном узле. Развитые в последнее десятилетие спин-флуктуационные теории магнетизма переходных металлов позволили получить качественное объяснение сложного сочетания черт локализованного и коллективизированного поведения магнитных электронов [3]. Сейчас, однако, остро ощущается потребность в создании теории коллективизированного магнетизма, основанной на реальной зонной структуре конкретных веществ. Неэмпирические зонные расчеты в приближении функционала локальной спиновой плотности позволяют проводить количественные исследования электронной структуры и магнитных свойств не только основного ферромагнитного и антиферромагнитного состояния переходных металлов и их соединений, но и возбужденных магнитных конфигураций, связанных с неколлинеарной структурой спиновых моментов [4-7]. В работах [4, 5] было исследовано парамагнитное состояние железа и никеля, спиновый беспорядок моделировался как эффективная неупорядоченная среда в приближении когерентного потенциала. При этом получено, что в таком расчете магнитный момент железа в парамагнитном состоянии лишь незначительно уменьшился по сравнению с основным ферромагнитным состоянием, тогда как в Ni не существует магнитного решения для неупорядоченной спин-

вой конфигурации. Поэтому можно считать металлическое железо магнетиком с хорошо определенным локальным моментом, а никель — практически чисто зонным ферромагнетиком. Однако для более детального изучения степени локализации магнитных моментов в металлах и их сплавах необходимо анализировать зависимость величины локального магнитного момента от угла его поворота относительно спина соседних атомов. Такая задача может быть решена как при использовании методики спиральных зонных расчетов [4, 7], так и в примесном подходе при изучении спиновых отклонений отдельных атомов [6, 8]. Естественно, что анализ локализации магнитных моментов в разбавленных сплавах возможен только в примесной методике. Кроме того, спиновые спирали являются наиболее вероятными спиновыми возбуждениями лишь при низких температурах, тогда как в парамагнитной области, судя по опыту использования спин-флуктуационной теории, существенны локальные спиновые возбуждения. В данной работе исследованы локальные спиновые отклонения в ОЦК Fe и ГЦК Ni, а также для примеси Mn в этих металлах.

Результаты зонных расчетов в методе ЛМТО-функций Грина анализируются с использованием простой модели Андерсона для примеси в ферромагнитном кристалле.

Для изучения степени локализации магнитных моментов в металле рассмотрим ферромагнитный кристалл, в котором локальная спиновая ось на нулевом узле повернута на угол  $\delta\varphi$  относительно оси  $n$  ( $\delta\varphi = \delta\varphi n$ ). Использование приближения атомных сфер в линеаризованном методе МТ-орбиталей очень удобно для исследования подобных задач. В этом случае можно считать, что спин-поляризованный потенциал с направлением спиновой оси вдоль произвольного вектора  $e$  имеет следующую спинорную форму [4]:

$$V(r) = V_0(r)\hat{l} + V_1(r)e\hat{\sigma},$$

где  $\hat{\sigma} = (\hat{\sigma}_x, \hat{\sigma}_y, \hat{\sigma}_z)$  — матрицы Паули,

$$V_0(r) = \frac{1}{2}[V_\uparrow(r) + V_\downarrow(r)], \quad V_1(r) = \frac{1}{2}[V_\uparrow(r) - V_\downarrow(r)]. \quad (1)$$

Для нахождения одноэлектронного энергетического спектра кристалла необходимо решать сложную спиновую систему уравнений Конга—Шема [9]

$$\sum_{\beta}[-\Delta_{\alpha\beta} + V_{\alpha\beta}(r)]\psi_{\beta}(r) = \epsilon_i\psi_{\alpha i}(r). \quad (2)$$

Однако можно воспользоваться удобным формализмом метода функций Грина, поскольку потенциал при таком магнитном возбуждении существенно меняется лишь на нулевом узле. Потенциальный параметр в методе ЛМТО-функций Грина [10], соответствующий обратной однокентровой  $t$ -матрице рассеяния, имеет спинорную структуру, аналогичную потенциалу (1)

$$\hat{P}(E) = P_0(E)\hat{l} + P(E)\hat{\sigma}, \quad (3)$$

где  $P_0 = \frac{1}{2}\text{Sp}_{\hat{\sigma}}\hat{P}$ ,  $P = \frac{1}{2}\text{Sp}\hat{\sigma}\hat{P}$ .

При повороте магнитного момента нулевого узла на угол  $\delta\varphi$  от направления вектора намагниченности ферромагнитного кристалла изменение  $P$ -матрицы рассеяния запишется в виде

$$\delta\hat{P}(E) = [\delta\varphi \times P]\hat{\sigma}. \quad (4)$$

Полную  $T$ -матрицу рассеяния неколлинеарной спиновой конфигурации кристалла можно определить из решения эффективной «примесной» задачи [10]

$$\hat{T}^{00}(E) = \hat{T}^{00}(E)(l - \delta\hat{P}(E)\hat{T}^{00}(E))^{-1}, \quad (5)$$

где  $\hat{T}(E)$  — полная матрица рассеяния ферромагнитного кристалла, которую в ортогональном методе ЛМТО [10] удобно рассчитать через матричные элементы функций Грина

$$G_{LL'}^{ij}(E) = P_{LL'}^{1/2}(E) \bar{T}_{LL'}^{ij}(E) = (1/\Omega) \int d\mathbf{k} \sum_n \frac{\psi_{nL}(\mathbf{k}) \psi_{nL'}^*(\mathbf{k})}{E - E_n(\mathbf{k})} e^{i\mathbf{kR}_i j}, \quad (6)$$

где точка означает производную по энергии от потенциальной функции.

Локальный магнитный момент нулевого узла в произвольной спиновой конфигурации определяется через рассчитанную по формуле (5) функцию Грина

$$M = (-1/\pi) \int_{E_F}^{E_F} d\varepsilon \operatorname{Sp} \sigma \hat{G}(E). \quad (7)$$

С вычислительной точки зрения удобно локальную спиновую ось выделенного атома направлять вдоль  $Z$ . Поскольку в методе функционала локальной спиновой плотности обменно-корреляционный потенциал  $V_{xc}$  зависит только от полной электронной плотности  $n(\mathbf{r})$  и модуля спиновой плотности  $|M(\mathbf{r})|$ , можно проводить самосогласованные расчеты только по величине магнитного момента (7), пренебрегая «поперечными» относительно локальной оси  $Z$  компонентами матрицы плотности.

Для изучения характера обменных взаимодействий необходимо исследовать зависимость полной энергии кристалла от угла поворота локального момента нулевого узла

$$E_{tot} = \int_{E_F}^{E_F} dE \varepsilon N(E) - \iint dr dr' \frac{n(r)n(r')}{|\mathbf{r} - \mathbf{r}'|} - \int dr (\operatorname{Sp} (\hat{p} \hat{V}_{xc}) - n(r) \varepsilon_{xc}). \quad (8)$$

Однако весьма сложно рассчитать изменение полной электронной плотности кристалла при возбуждении спинового момента нулевого узла, даже используя приближение большого «кластера» в твердом теле [10]. Существенно более точно можно рассчитать первую производную полной энергии (8) по углу отклонения спинового момента, поскольку, согласно теореме локальных сил [6], она сводится к производной суммы одноэлектронных энергий при фиксированном потенциале

$$\delta E_{tot} = \int_{E_F}^{E_F} dE \varepsilon \delta N(E) = (1/\pi) \int_{E_F}^{E_F} dE \operatorname{Im} \operatorname{Sp} [\delta \hat{p}(E) \hat{T}^{00}(E)]. \quad (9)$$

Рассчитывая штурм по спиновым переменным и учитывая выражение (4) для  $\delta \hat{p}$ , получим

$$\frac{\delta E_{tot}}{\delta \varphi} = (2/\pi) \int_{E_F}^{E_F} dE \operatorname{Im} \operatorname{Sp}_L [p(E) T^{00}(E)]. \quad (10)$$

Отметим, что для ферромагнитного или антиферромагнитного кристалла  $p = (0 \ 0 \ p_z)$  и  $T^{00} = (0 \ 0 \ T_z^{00})$  коллинеарны и первая производная полной энергии (10) тождественно обращается в нуль. Вторая производная полной энергии по углу отклонения выделенного атома определяет эффективный параметр обменного взаимодействия  $J_0$ , аналитическое выражение для него было получено в [6, 8]. Расчеты параметров  $J_0$  для ферромагнитного состояния переходных металлов и их сплавов были проведены в [6, 11]. Численная производная от выражения (10) для малых отклонений  $\delta \varphi$  хорошо совпадает с данными работы [11] и подтверждает правильность полученных в [6] соотношений. Однако для восстановления всей зависимости  $E(\theta)$ , где  $0 \leq \theta \leq \pi$  — конечный угол поворота, и анализа негайзенберговских обменных взаимодействий, необходимо самосогласованно вычислять  $E_\theta$  при каждом значении  $\theta$ .

Были проведены самосогласованные расчеты угловой зависимости величины магнитного момента выделенного узла и первой производной полной энергии по углу отклонения спиновой оси нулевого атома от направления намагничивания ферромагнитного ОЦК железа и ГЦК никеля. Для моделирования разбавленных сплавов MnFe и MnNi прово-

дились аналогичные расчеты одиночных неколлинеарных (по спину) примесей марганца в данных матрицах. Во всех расчетах использовался обменно-корреляционный потенциал Гуннарсона—Лундквиста [9]. Для

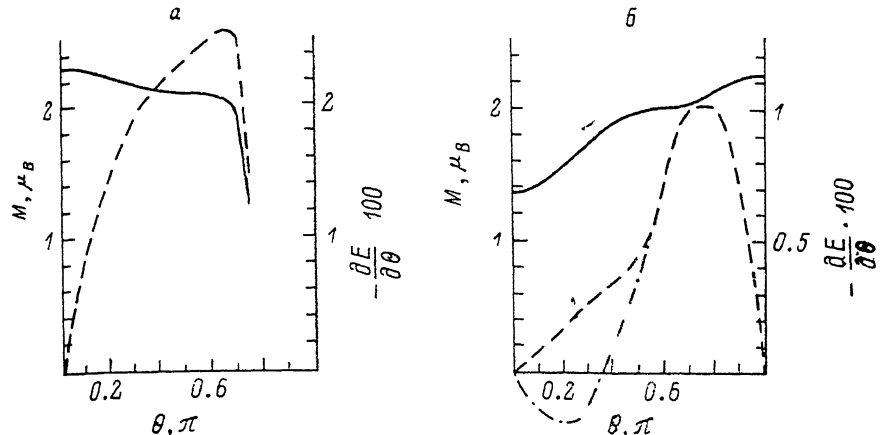


Рис. 1. Локальный магнитный момент и первая производная полной энергии по углу поворота для магнитной примеси в ОЦК Fe.  
*a* — Fe, *б* — Mn.

определения ферромагнитной функции Грина чистых матриц в методе ЛМТО—ФГ [10, 12] по формуле (6) использовались результаты самосогласованных ЛМТО расчетов с интегрированием по 140 и 89 k-точкам в неприводимой части ОЦК и ГЦК зоны Бриллюэна. Самосогласование «магнитной» примеси проводилось по спиновым заселенностям с точностью

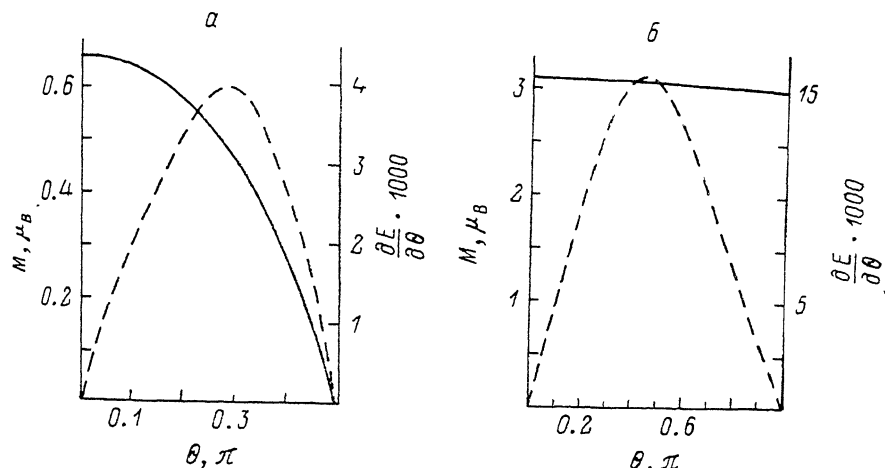


Рис. 2. Локальный магнитный момент и первая производная полной энергии по углу поворота для магнитной примеси в ГЦК Ni.  
*a* — Ni, *б* — Mn.

до  $10^{-2} \mu_B$ . Для неколлинеарного случая примесный спин становится неэквивалентным остальным атомам ферромагнитного кристалла и возможен перенос заряда. Мы использовали простую и весьма эффективную схему учета экранировки одиночной примеси в металле [10, 12], заключающуюся в варьировании радиуса атомной сферы магнитной примеси до полной ее электронейтральности.

На рис. 1, 2 приведены результатирующие кривые зависимости локального магнитного момента  $M(\theta)$  и первой производной полной энергии  $\partial E / \partial \theta$  от угла поворота спинового момента относительно ферромагнитной

оси ОЦК Fe и ГЦК Ni. Для локализованной модели Гайзенберга  $M$  не зависит от  $\theta$ , а  $\delta E \simeq 1 - \cos \theta$  или  $\partial E / \partial \theta \simeq \sin \theta$ . Интересно, что магнитный момент железа не очень сильно меняется вплоть до углов  $\theta \simeq \pi/2$ , а  $\partial E / \partial \theta$  примерно совпадает с  $\sin \theta$ , что говорит об адекватности применения классической модели Гайзенберга к описанию термодинамики ферромагнитного Fe.

Для качественного анализа особенностей электронной структуры неколлинеарных магнитных конфигураций в металлическом Fe, приводящих к «почти» локализованному поведению магнитного момента железа, удобно исследовать локальную спин-поляризованную плотность состояний примеси с магнитным моментом вдоль оси Z. На рис. 3, 4 приведены плотности электронных состояний магнитных систем при различных углах

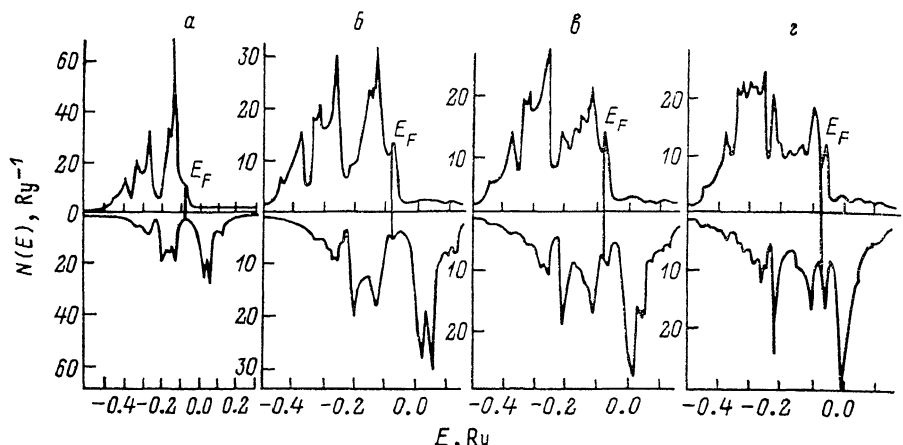


Рис. 3. Плотность электронных состояний системы FeFe при углах поворота  $\theta = 0.0$  (a),  $0.2\pi$  (b),  $0.35\pi$  (c),  $0.5\pi$  (d).

поворота. Видно, что для случая чистого железа уровень Ферми попадает в глубокий провал для состояний со спином вниз. Этот провал характерен для ОЦК структуры и связан с расщеплением  $d$ -состояний на антисвязывающие (верхний пик  $N(E)$ ) и несвязывающие (средние пики  $N(E)$ ). Именно такое сильное квантовохимическое расщепление одноэлектронных состояний и спиновая раздвижка энергетических зон делают большой «антисвязывающий» пик плотности состояний Fe незаполненным, что приводит к большой величине ферромагнитного момента  $\mu_{\text{Fe}} \simeq 2.25 \mu_B$ . Более того, при слабой гибридизации состояний с различными спинами при  $\theta < \pi/2$  данный «ОЦК-провал» практически сохраняется и поэтому величина магнитного момента нулевого узла сильно не изменяется. Только при  $\theta \geqslant \pi/2$  начинаются полная перестройка энергетического спектра, образование мощных локальных пиков  $N(E)$  со спином вниз вблизи уровня Ферми и резкое падение локального магнитного момента Fe при  $\theta \simeq 0.7\pi$ . В этом же диапазоне углов кривая  $\partial E / \partial \theta$  резко отличается от  $\sin \theta$  и становится сильным негайзенберговским механизмом обмена. При критическом угле  $\theta_c \simeq 0.75\pi$  исчезает самосогласованное решение и, поскольку в расчетах фиксируется лишь спиновая ось, а не направление магнитного момента, система сама приходит к устойчивому решению, соответствующему  $0 = \pi - \theta_c$ , что означает простой переворот примесного спина. В случае более «плавных» спиральных возбуждений в Fe локальный магнитный момент существует вплоть до антиферромагнитной конфигурации  $\theta = \pi$  [7].

Для разбавленного сплава MnFe ситуация является весьма неоднозначной. Это связано не только с противоречивыми экспериментальными данными о магнитном поведении [13–16], но и с вычислительными трудностями проведения примесных расчетов при  $\theta \simeq 0$ . Действительно, имеются экспериментальные свидетельства, что в сплаве MnFe с Si часть атомов Mn

имеет ферромагнитную ориентацию по сравнению с намагниченностью железной матрицы, а часть — антиферромагнитную. На рис. 1, б приведены результаты двух самосогласованных расчетов неколлинеарных конфигураций примеси Mn в Fe. Штрихпунктирной линией (отметим, что на этом графике отложено  $\partial E / \partial \theta$ ) даны наши предыдущие расчеты с использованием 30 k-точек в неприводимой части зоны Бриллюэна. Кривая зависимости  $M(\theta)$  практически не отличается в двух расчетах, тогда как  $\partial E / \partial \theta$  при  $\theta$  вблизи нуля сильно зависит от точности расчета. Для расчетов с 30 k-точками получились два устойчивых состояния (ферромагнитное и антиферромагнитное), тогда как для 140 k-точек — только антиферромагнитная конфигурация Mn в Fe является устойчивой относительно поворотов магнитного момента ( $\partial^2 E / \partial^2 \theta > 0$ ). Такое сложное поведение системы MnFe связано с существованием резких пиков  $N(E)$

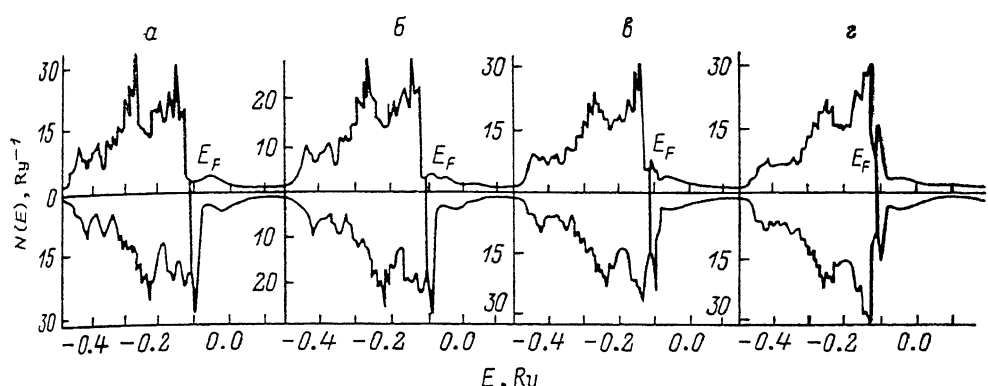


Рис. 4. Плотность электронных состояний системы MnFe при углах поворота  $\theta=0.0$  (a),  $0.2\pi$  (b),  $0.35\pi$  (c),  $0.5\pi$  (d).

вблизи уровня Ферми для ферромагнитной конфигурации примеси (рис. 4). Отметим, что величина магнитного момента на Mn плавно меняется от 1.35  $\mu_B$  при  $\theta=0$  до 2.25 при  $\theta=\pi$ .

В других расчетах [17] примеси Mn в Fe также подчеркивается резкая зависимость результатов от небольших изменений исходных параметров вычислений — вида обменно-корреляционного потенциала и межатомных расстояний.

Возможно, результаты наших более ранних расчетов с двумя устойчивыми состояниями ( $\partial^2 E / \partial^2 \theta > 0$  при  $\theta=0$  и  $\pi$ ) более правильно моделируют экспериментальную ситуацию в сплаве MnFe.

Совершенно иная ситуация (по сравнению с Fe) наблюдается в ферромагнитном Ni (рис. 2, a). Магнитный момент резко уменьшается при возрастании угла поворота и обращается в нуль при  $\theta=\pi/2$ . В этом случае  $\partial E / \partial \theta \approx \sin 2\theta$ , т. е.  $\delta E \approx \cos^2 \theta$ .

Наконец, в разбавленном сплаве MnNi (рис. 2, б) имеется практически локализованный магнитный момент марганца, слабо зависящий от угла  $\theta$ , а  $\partial E / \partial \theta \approx \sin \theta$ , что говорит о гайзенберговском характере обмена для подрешетки Mn и одном устойчивом состоянии при  $\theta=0$ .

Локальная плотность состояний атома Mn в Ni также довольно слабо зависит от  $\theta$ .

Для качественного понимания полученных результатов рассмотрим модель Андерсона для примеси в ферромагнитном металле с гамильтонианом

$$H = H_0 + U d_{\uparrow}^{\dagger} d_{\downarrow}^{\dagger} d_{\downarrow}^{\dagger} d_{\uparrow},$$

$$H_0 = \sum_{\sigma} \epsilon_{\sigma}(k) c_{k\sigma}^{\dagger} c_{k\sigma} + \sum_{\sigma} E_{\sigma} d_{\sigma}^{\dagger} d_{\sigma} + \sum_{\sigma} V_{\sigma}(k) (c_{k\sigma}^{\dagger} d_{\sigma} + d_{\sigma}^{\dagger} c_{k\sigma}), \quad (11)$$

где  $c_{k\sigma}^{\dagger}$ ,  $d_{\sigma}^{\dagger}$  — операторы рождения зонных и примесных состояний;  $\epsilon_{\sigma}(k)$  — спектр зонных электронов со спином ( $\sigma=\uparrow, \downarrow$ );  $E_{\sigma}$  — энергия

примесного уровня;  $V_\sigma(k)$  — параметры гибридизации;  $U$  — корреляционная энергия для примесного атома. При этом учтена зависимость энергии и ширины примесного уровня от  $\sigma$

$$E_\sigma = E_1 + E_{1\sigma}, \\ \Delta_\sigma = \pi \sum_k |V_\sigma(k)|^2 \zeta(\varepsilon_k) = \Delta_0 + \Delta_1 \sigma. \quad (12)$$

Используя статическое приближение в методе функционального интегрирования [3, 18], получим для энергии системы

$$E(v, n) = v^2/U + E_I(v, n), \quad (13)$$

где  $E(v, n)$  — энергия системы с гамильтонианом

$$H_I = H_0 + v n d_\sigma^\dagger \sigma_{\sigma\sigma'} d_{\sigma'},$$

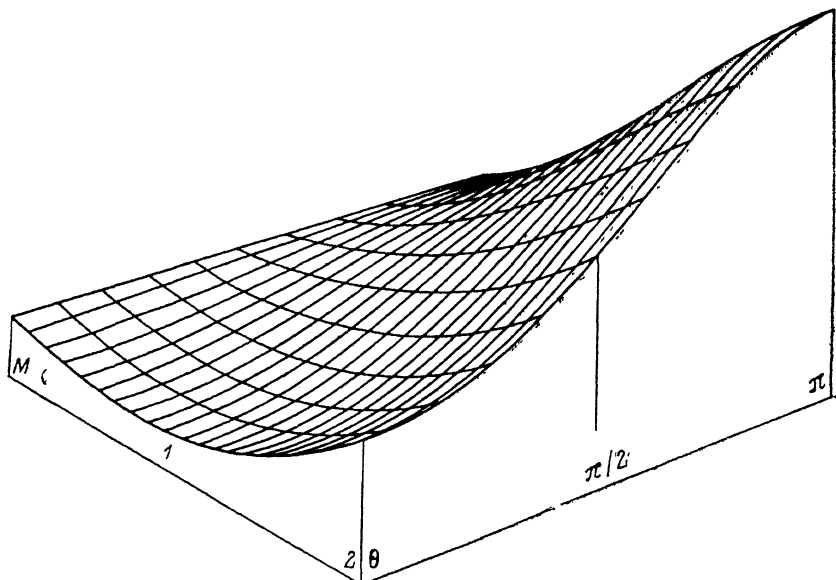


Рис. 5. Поверхность  $E(M, \theta)$  для первого набора параметров.

где  $v, n$  — величина и направление вспомогательных магнитных полей. Вводя угол  $\theta$  между осью намагничивания матрицы  $Z$  и вектором  $n$  и локальный магнитный момент  $M = 2v/U$ , аналогично [18] получим

$$E(M, \theta) = \frac{UM^2}{4} + (1/\pi) \operatorname{Im} \sum_\sigma (-E_0 + i\Delta_0 - \sigma W) \ln (-E_0 + i\Delta_0 - \sigma W) + \text{const}, \\ W = \left\{ \frac{U^2 M^2}{4} + UM \cos \theta (E_1 - i\Delta_1) + (E_1 - i\Delta_1)^2 \right\}^{1/2}. \quad (14)$$

Исследование выражения (14) показывает, что в зависимости от соотношения параметров возможно, что с изменением  $\theta$  минимум  $E(m, \theta)$  при  $M \neq 0$  (магнитное решение) пропадает при некотором  $\theta_c$ , а наряду с гайзенберговским вкладом в  $E(M, \theta)$  ( $\simeq E_1 \cos \theta$ ) возникают заметные негайзенберговские члены ( $\simeq \Delta_1^2/U \sin^2 \theta$ ), которые могут привести к существованию устойчивого решения как при  $\theta=0$ , так и при  $\theta=\pi$ . Такое поведение наиболее вероятно для больших  $\Delta_1$ , т. е. когда существенно отличается ширина магнитного резонанса со спином вверх и вниз. Возможно, именно такова зависимость  $\delta E \simeq \cos^2 \theta$  в чистом Ni.

На рис. 5, 6 приведены поверхности энергии  $E(M, \theta)$  для двух наборов параметров:  $U=2.5$ ,  $E_0=-0.6$ ,  $E_1=1.0$ ,  $\Delta_0=1.0$ ,  $\Delta_1=0.8$ ;  $U=3.2$ ,  $E_0=-0.6$ ,  $E_1=0.6$ ,  $\Delta_0=0.6$ ,  $\Delta_1=0.5$ . Хорошо видно, что первый случай (рис. 5) соответствует ситуации с одной устойчивой конфигурацией мо-

мента примеси при  $\theta=0$ , а затем, при  $\theta \approx \pi/2$ , происходит исчезновение минимума на поверхности  $E(M, \theta)$ , соответствующее отсутствию самосогласованного магнитного решения для Fe. Во втором случае (рис. 6) мы имеем два самосогласованных различных значения магнитных моментов в ферромагнитной ( $\theta=0$ ) и антиферромагнитной конфигурации ( $\theta=\pi$ ), отражающих ситуацию в разбавленных сплавах MnFe и MnNi.

Интересно отметить, что результаты, полученные для угловой зависимости локального магнитного момента переходных металлов, хорошо коррелируют с данными ККР—ПКП расчетов парамагнитного состояния [4, 5]. Действительно, полностью неупорядоченная парамагнитная среда, в которой выделенный магнитный атом «чувствует» немагнитное окружение, грубо соответствует углу поворота  $\theta=\pi/2$ . При этом магнит-

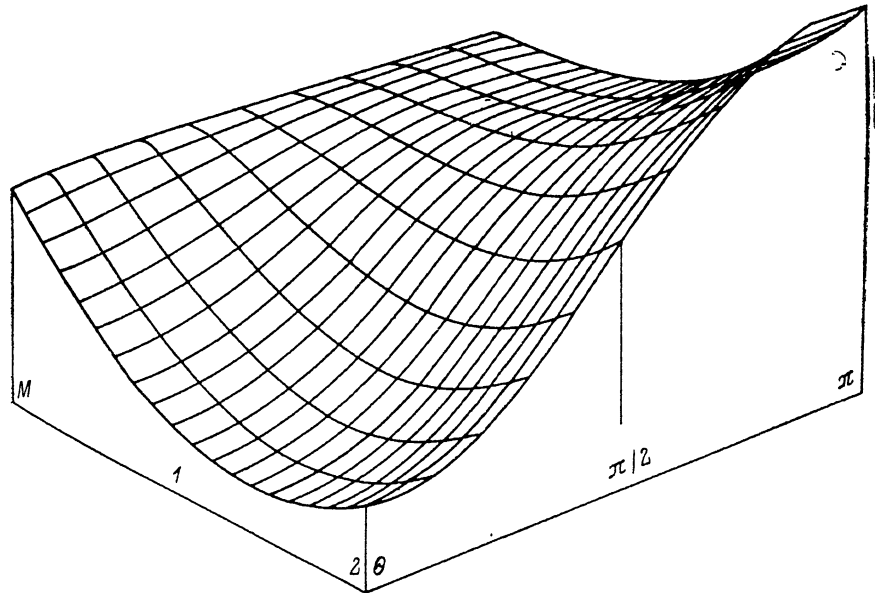


Рис. 6. Поверхность  $E(M, \theta)$  для второго набора параметров.

ный момент железа уменьшается до  $2.05 \mu_B$  (ККР—ПКП —  $1.92 \mu_B$ ), а никеле пропадает локальный магнитный момент. Кластерные ККР—ПКП расчеты [5] приводили к небольшому значению магнитного момента парамагнитного никеля  $\approx 0.2 \mu_B$ , тогда как более поздние и точные зонные ККР—ПКП исследования привели к отсутствию магнитного момента в парамагнитной конфигурации Ni.

Таким образом, проведенные расчеты дают количественную оценку «пределного» угла поворота магнитного момента в металлах, показывающего степень локализации спинового момента. Изучение первой производной полной энергии по углу поворота момента позволяет исследовать характер обменных взаимодействий и установить наличие сильных негайзенберговских механизмов обмена в сплаве MnFe и в ферромагнитном никеле.

#### Список литературы

- [1] Вонсовский С. В. Магнетизм. М.: Наука, 1971. 1032 с.
- [2] Andersson P. W. // Solid State Physics / Ed. D. Turnbull, F. Seitz. V. 14. N. Y.: Acad. Press, 1963. P. 99—214.
- [3] Moriya T. // Spin fluctuations in itinerant electron ferromagnetism. N. Y.: Springer, 1985. 350 p.
- [4] Oguchi T., Terakura K., Hamada N. // J. Phys. F. 1983. V. 13. N 1. P. 145—160.
- [5] Gyorffy B. L., Pindor A. J., Staunton J., Stocks G. M., Winter M. // J. Phys. F. 1985. V. 15. N 2. P. 993—1011.
- [6] Liechtenstein A. I., Katsnelson M. I., Antropov V. P., Gubanov V. A. // J. Magn. Magn. Mater. 1987. V. 67. N 1. P. 65—74.
- [7] Sandratskii L. M. // Phys. St. Sol. (b). 1986. V. 135. P. 167—180.

- [8] Liechtenstein A. I., Katsnelson M. I., Gubanov V. A. // Sol. St. Comm. 1985. V. 54. N 4. P. 327—329.
- [9] Gunnarsson O., Lundquist B. I. // Phys. Rev. B. 1976. V. 13. N 10. P. 4274—4298.
- [10] Gunnarsson O., Jepsen O., Andersen O. K. // Phys. Rev. B. 1983. V. 27. N 13. P. 7144—7168.
- [11] Anisimov V. I., Antropov V. P., Liechtenstein A. I., Gubanov V. A., Postnikov A. V. // Phys. Rev. B. 1988. V. 37. N 10. P. 5598—5602.
- [12] Anisimov V. I., Kurmaev E. Z., Ivanovsky A. L., Gubanov V. A. // Phil. Mag. B. 1986. V. 53. N 1. P. 67—71.
- [13] Moriya T. // Prog. Teor. Phys. 1965. V. 33. N 2. P. 157—183.
- [14] Collins M. F., Low G. G. // Proc. Phys. Soc. London. 1965. V. 86. Pt 3. N 551. P. 535—548.
- [15] Radhakrishna P., Livet F. // Sol. St. Comm. 1978. V. 25. N 5. P. 597—600.
- [16] Kaizar F., Parette G. // Phys. Rev. B. 1980. V. 22. N 6. P. 5471—5478.
- [17] Akai M., Akai H., Kanamori J. // J. Phys. Soc. Jap. 1985. V. 54. N 11. P. 4246—4256.
- [18] Hubbard J. // Phys. Rev. B. 1979. V. 19. N 5. P. 2626—2636.

Институт химии УрО АН СССР  
Свердловск

Поступило в Редакцию  
24 октября 1989 г.